

Oberhausen-Holten, den 11. Juli 1939

001780

Herrn Prof. Martin
" Dr. Hagemann
" Dir. Alberts
" Dipl. Ing. Wilke

H. Rosny
700500

Aromatisierung (Kontaktprüfung)

Betr.: Alkaligehalt des Al_2O_3
Kalzinierungstemperatur von Al_2O_3

In Rahmen der Untersuchungen von Katalysatoren zur Aromatisierung bzw. Dehydrierung von Kohlenwasserstoffen wurde auch geprüft, welchen Einfluss der Alkaligehalt des Trägers Al_2O_3 auf die Kontaktaktivität besitzt. 2 Versuchsreihen wurden zu diesem Zwecke durchgeführt: K 140/1-4 und K 147/1-4.

K 140/1-4: Al-Metall geraspelt von Riedel wurde in starker Natronlauge gelöst und zwar wurde der NaOH-Gehalt so bemessen, dass auf 1 g Atom Al 1 Mol. NaOH entfiel, also in der Lösung die Verbindung $NaAlO_2$ vorhanden war. Von dem Rückstand (Schlamm, bestehend aus CaO , Fe_2O_3 usw.) wurde abfiltriert; der Rückstand mehrmals mit heissem Wasser gewaschen um alles $NaAlO_2$ in Lösung zu bringen. Dann wurde in die ca 60-70° heisse Lösung CO_2 eingeleitet. Die Fällung dauerte längere Zeit - ca 24 Std.-. Die Fällungsbedingungen müssen noch näher festgelegt werden. Temperatur und Konzentration scheinen wesentlich zu sein, weniger bezügl. der absol. Kontaktaktivität als bezügl. des Schüttgewichtes des späteren Al_2O_3 , wodurch eventuelle Reparaturen an Kontakt möglich werden. Nach dem Absetzen des $Al(OH)_3$ wurde dekantiert und auf der Nutsche abgepresst. Dann wurde das $Al(OH)_3$ in vier gleichen Mengen geteilt. Die erste Probe wurde 2 mal, die zweite 4 mal, die dritte 6 mal und die letzte 8 mal mit je 500 ccm heissem Wasser angewaschen. Dabei fiel der p_H -Wert von weit über 9 bei dem ersten Waschen auf 8,9 bei der dritten und 8,3 bei der vierten Probe. Gemessen wurde jeweils der p_H -Wert der letzten Waschwasser. Durchschrift

Nach dem Trocknen wurde bei 700° 1,5 Std. kalsiniert. Dann wurden die Schüttgewichte bestimmt. Aus Tab. I ist zu ersehen, dass ein geringer Anstieg der Schüttgewichte festzustellen ist und zwar ist das Schüttgewicht umso höher je öfter gewaschen wurde.

Von diesen 4 verschiedenen Al_2O_3 -Proben wurden nun Kontakte hergestellt unter Verwendung von $Cr(NO_3)_3 + 9 H_2O$ als Aktivator. Das Chromnitrat wurde in eigenem Kristallwasser geschmolzen und soviel Al_2O_3 zugegeben, dass das Verhältnis $Al_2O_3 : Cr_2O_3$ 2:1 betrug. (Gewichtsverhältnis !!) Die entstandene Paste wurde getrocknet und bei 600° sersetzt. Der unter Verwendung des 2 mal ausgewaschenen Al_2O_3 hergestellten Kontakts wurde als 14c/1 bezeichnet, des weiteren mit steigender Zahl der Auswaschungen von 14c/2 - 14c/4.

K 147/1-4

Diese Versuchsreihe wurde analog der vorigen durchgeführt, einige kleine Abweichungen seien kurz angegeben. Als Lösungsmittel fand dieses Mal KOH Anwendung. Die Menge entsprach wieder einem Verhältnis KOH 8 : 1 Al. Nach dem Ausfällen mit CO_2 und Abfiltrieren von der Mutterlauge wurde dieses Mal folgendermassen verfahren: Das gesamte $Al(OH)_3$ wurde mit je 4 l. heissem H_2O 3 mal gewaschen. Dann wurde $\frac{3}{4}$ der Gewichtsmenge herausgenommen. Nun wurde wieder 3 mal mit je 4 l. heissem H_2O gewaschen, anschliessend $\frac{2}{3}$ herausgenommen. Der Rückstand wurde 3 mal mit je 3 l. heissem H_2O gewaschen und die Hälfte herausgenommen. der Rest wurde 3 mal mit je 1,5 l. heissem H_2O ausgewaschen. Das Auswaschen geschah durch Suspensieren des $Al(OH)_3$ in dem siedendem H_2O , 5 Minuten langen Kochen und anschliessenden sofortigen Absaugen. Die einzelnen Portionen wurden getrocknet und bei 700° kalsiniert. Die Schüttgewichte der kals. Al_2O_3 sind aus Tab. III zu entnehmen; genau wie bei der vorigen Versuchsreihe steigen sie mit der Zahl der Auswaschungen an.

Mit diesem Al_2O_3 - Proben wurden nun Kontakte hergestellt. Das Verhältnis $Al_2O_3 : Cr_2O_3$ betrug wieder 2:1. Zur Verwendung gelangte dieses Mal $Cr(NO_3)_3 + 9 H_2O$ von Riedel, ausserdem wurden noch 5 g Ni und 0,5g MnO bezogen auf Cr_2O_3 als Nitrate hinzugefügt.

Die Zersetzung erfolgte wieder bei 600 °.
Bemerkenswerterweise ist bei den Schüttgewichten der Fertigkeitkontakte in der K 140er Reihe ein Anstieg von K140/1 nach K140/4 festzustellen, während in der K 147er Reihe ein Absinken des Schüttgewichte von K 147/1 bis K 147/5 stattfindet. K 147/1 ist unter Verwendung des 3 mal ausgewaschenen $Al(OH)_3$ hergestellt, weiter wurde mit steigender Zahl der Auswaschungen von 147/2 bis 147/4 bezeichnet.

Die Prüfbedingungen für die Kontakte waren stets die gleichen: Reaktionstemperatur 450°, Kontaktbeaufschlagung 10 %, Reaktionsdauer 90 Min, Regenerierung 3 Min. H_2 , 12 Min. Luft, 2 Min. H_2 , und 5 Min. H_2/N_2 .

Als wichtigstes Ergebnis aus beiden Versuchsreihen (Tab.Iu.III Reihe 3u.4) erkennt man, dass ganz eindeutig der Aromatengehalt bei den Kontakten am höchsten ist, die ein Al_2O_3 als Träger enthalten, das möglichst wenig Alkali enthält. Bei K 140 steigt der Aromatengehalt von 9 % (Al_2O_3 nach 2 maliger Waschung) auf 40% (Al_2O_3 nach 8 maliger Waschung) während bei K 147 ein Anstieg von 25 % (Al_2O_3 nach 3 maliger Waschung) auf 47.5 % (Al_2O_3 nach 12 maliger Waschung) zu verzeichnen ist. Aromatengehalt in Vol. %. Man kann also allgemein sagen, dass ein Kontakt umso besser ist, je mehr sich der p_{H^+} Wert des Waschwassers dem Wert 7 nähert. Versuche, wie die Aktivität bei schwach saurem p_{H^+} Wert (Unter Zugabe von etwas H_3BO_3 oder H_3PO_4) sein wird, sind in Vorbereitung.

Aus Tab. I u. III Reihe 1 ist ferner zu ersehen, dass bei ansteigender Aromatisierung auch der H_2 - Gehalt im Endgas grösser ist. Dagegen sinkt die Flüssigausbeute etwas ab (Reihe 2). Als Beweis dafür, dass bei steigender Aromatisierung auch die Krackgasbildung und CH_4 - Verluste etwas erhöht sind, wurden die Reihen 5 u. 7 in Tab. I u. III aufgetragen. Die Parallelität zwischen Reihe 1,2,5 u. 7 Tab. I u. III ist eindeutig.

In Reihe 8 Tab.I u. III ist in Gew.% Aromaten das Aromaten-Krackgasverhältnis aufgetragen. Hieraus ist zu ersehen, dass mit steigender Aktivität der Kontakte das Verhältnis sich mehr und mehr zu Gunsten der Aromaten verschiebt.

Durchschrift

700551

Man kann also sagen, dass durch die Alkalianswaschung eine Aktivitätserhöhung des Kontaktes sowohl bezüglich der Aromatisierung (Reihen 3 u. 4) als auch der Krackung (Reihe 5 Tab. I u. III) eingetreten ist, doch ist dieser Effekt bei der Aromatisierung erheblich grösser, sodass sich die Gesamtbilanz erheblich zu Gunsten der Aromaten verschiebt.

In einer weiteren Versuchsreihe wird geprüft, welchen Einfluss die Kalsinierungstemperatur von Al_2O_3 auf die Kontaktaktivität besitzt. Al_2O_3 (Riedel) wurde in Portionen von je 250 g bei 400° , 600° , 800° und 1000° kalsiniert. Aus diesen verschiedenen kalsinierten Al_2O_3 -Proben wurden Kontakte hergestellt und zwar wieder $Al_2O_3 : Cr_2O_3$ wie 2 : 1, ausserdem wurden 5 % Ni und 0,5 % MnO bezogen auf Cr_2O_3 als Nitrate zugegeben. Die Ergebnisse veranschaulicht Tab. II.

Die Schüttgewichte sind mit Ausnahme von K 146/1, von dem das Al_2O_3 bei 400° kalsiniert wurde, ziemlich gleich. Das hohe Schüttgewicht von Al_2O_3 bei K 146/1 dürfte wohl von noch vorhandenem Hydratwasser herrühren. Dagegen steigen die Schüttgewichte der Fertigtakte von 400° bis 1000° kontinuierlich an.

Der Aromatengehalt in Vol.-% ist bei K 146/3 (800°) am höchsten. Die niedrigeren Werte von K 146/1 (400°) und K 146/2 (600°) sind wohl durch den noch vorhandenen geringen H_2O -Gehalt des Al_2O_3 bedingt. Wasser ist für die Kontaktaktivität stets nachteilig. Das Absinken bei K 146/4 (1000°) dürfte wohl auf eine teilweise Rekristallisation und damit verbundenen Inaktivierung des Al_2O_3 zurückzuführen sein. Die Umwandlungstemperatur in die stabile γ - Al_2O_3 -Form (Korund) liegt bei ca. 1050° .

Abgesehen von dem geringen Gehalt an Aromaten im Flüssigprodukt liegen die übrigen Werte für K 146/4 günstiger. (Reihe 1, 2, 5, 7 u. 8) Es ist nicht ausgeschlossen, dass sich zwischen 800° und 1000° 2 Effekte überschneiden, die mit steigender Entwässerung parallel gehende Aktivitätserhöhung des Al_2O_3 und die mit beginnender Rekristallisation einsetzende Aktivitätsverminderung, sodass die optimale Kalsinierungstemperatur

bei ca. 900° liegen würde. In dieser Richtung sollen
gelegentlich noch einige Versuche durchgeführt werden.

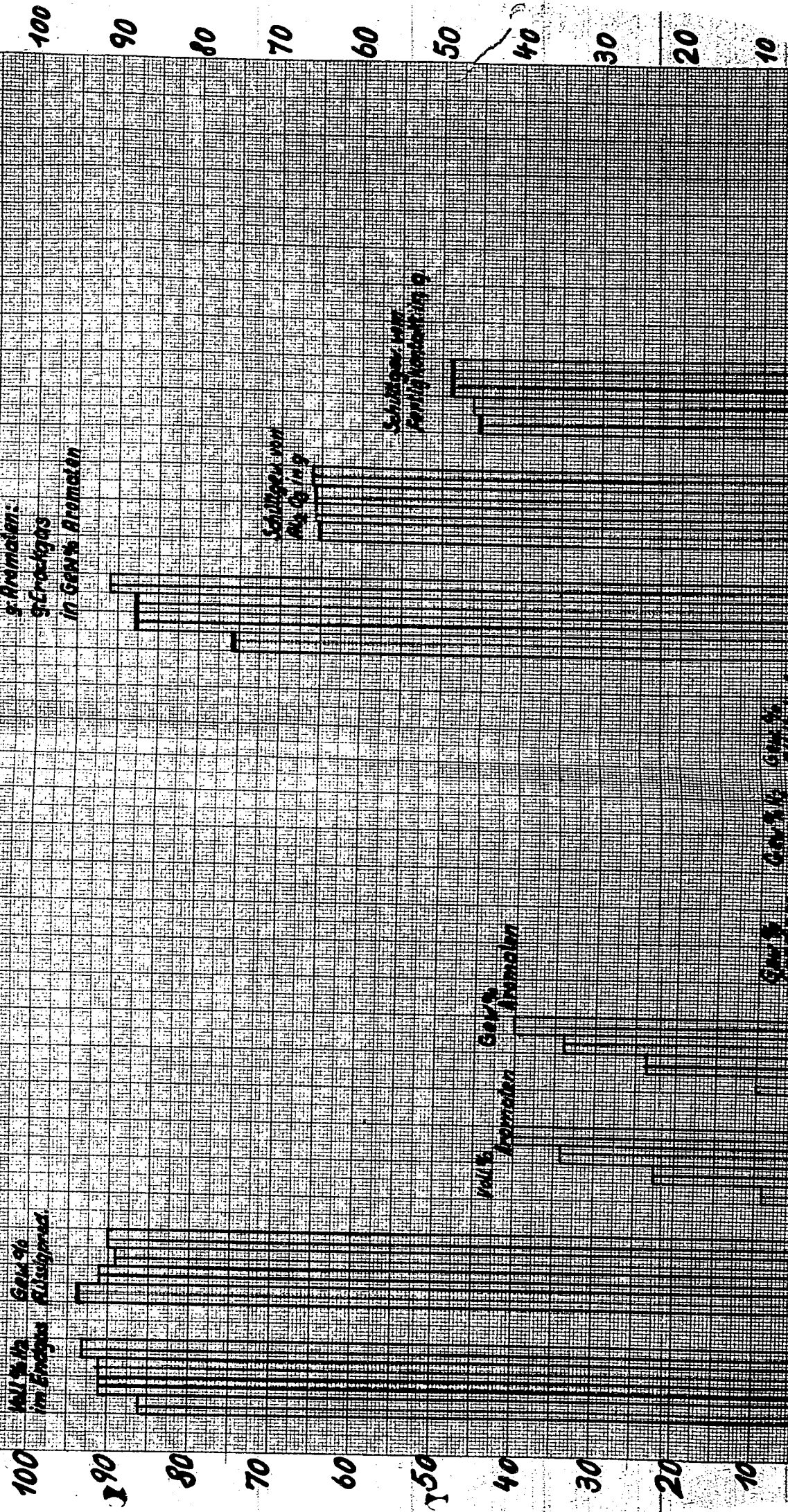
Hölling

Tabelle 1

1404
1402
1406
1407

101 % 12
im Energie
Rückstand

g Bromaten
g Frachtgas
in 50 % Bromaten



101 % 12
im Energie
Rückstand

Schuppen vor
Anfang

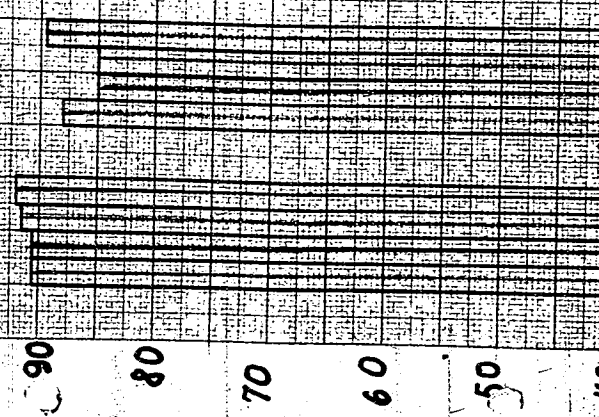
Schuppen vor
Partizipation

101 % 12
im Energie
Rückstand

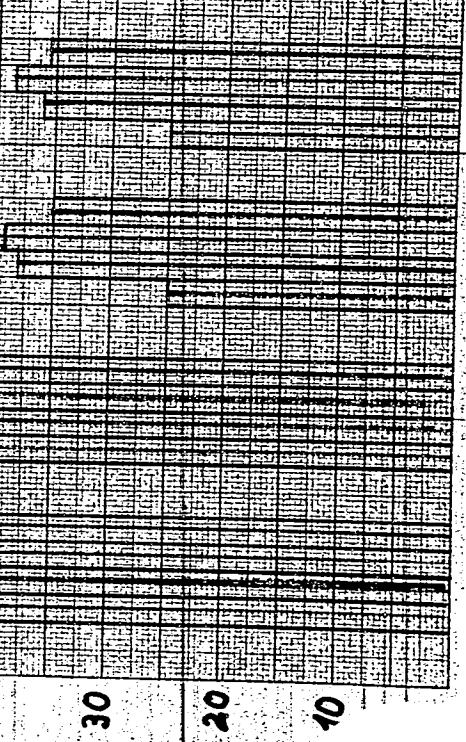
Tabella J

146/1
146/2
146/3
146/4

100 Gew. %
m. Endgas
Flussgas

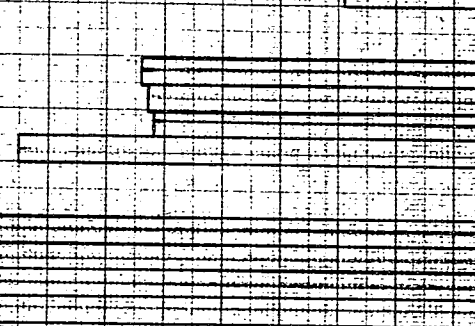


Vol. %
Aromaten

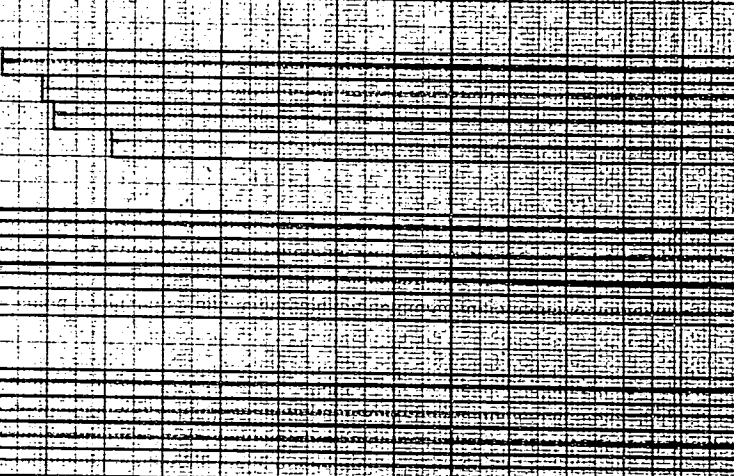


9-Aromaten
p-trachin
in Benzol
Aromaten

Sättiger
vom 11. 9. 1919



Sättiger
vom 11. 9. 1919



Gew. %
Cresole

Gew. %
MS

Gew. %
Cresole

Gew. %
Cresole



